

В. Ф. ГАНТМАХЕР, В. Н. ЗВЕРЕВ, С. В. МЕШКОВ
и Э. И. РАШБА

ИССЛЕДОВАНИЕ МАГНИТОПРИМЕСНЫХ ОСЦИЛЛЯЦИЙ В ГЕРМАНИИ

1. Основные экспериментальные факты

Фотопроводимость p -Ge при гелиевых температурах и в условиях межзонного возбуждения осциллирует при изменении магнитного поля H (рис. 1). Эти осцилляции, обнаруженные в [1], периодичны в функции H^{-1} , так что

$$(n+\gamma)\hbar\Omega_n = \mathcal{E}, \quad (1)$$

где $\Omega_n = eH_n/mc$, $n=1, 2, 3, \dots$, $|\gamma| < 1$.

Здесь \mathcal{E} — некоторая характерная энергия. Основные экспериментальные факты сводятся к следующему.

1. Из угловой зависимости периода осцилляций

$$\mathcal{P} = \Delta(1/H) = e\hbar/mc\mathcal{E} \quad (2)$$

следует, что m является эффективной массой электронов проводимости. Абсолютная величина \mathcal{E} зависит от химической природы акцепторов, для трех исследованных примесей (B, Ga, In) значения \mathcal{E} совпадали [1] с низшими энергиями возбуждения $\Delta E = E_a - E_a^*$ акцепторов. Появление величины $\gamma \neq 0$ в (1), по-видимому, отражает зависимость ΔE от магнитного поля, при этом $\mathcal{E} \approx \Delta E(0)$.

2. Хотя осцилляции сильно выражены (их относительная глубина ~ 1), ни в одном случае не удалось увидеть дополнительные периоды, отвечающие более высоким энергиям возбуждения.

3. В исследованном температурном интервале $T = 1,3 \div 2,3^\circ$ К картина осцилляций сильно зависит от температуры. Из анализа температурной зависимости осцилляций следует [2], что основной вклад в фототок вносят термализованные носители с температурой, близкой к температуре ванны.

4. Концентрация $N_{a^{kp}} \approx 2 \cdot 10^{15} \text{ см}^{-3}$ является критической для наблюдения осцилляций. При $1 \cdot 10^{15} \text{ см}^{-3}$ их относительная амплитуда составляет 30%, а при $3 \cdot 10^{15} \text{ см}^{-3}$ они полностью исчезают.

5. При одноосном сжатии вдоль [100] экстремумы расщепляются и возникают два периода [2]. Для одного \mathcal{E} совпадает с исходным значением, а для второго — монотонно падает (рис. 2).

2. Физический механизм явления

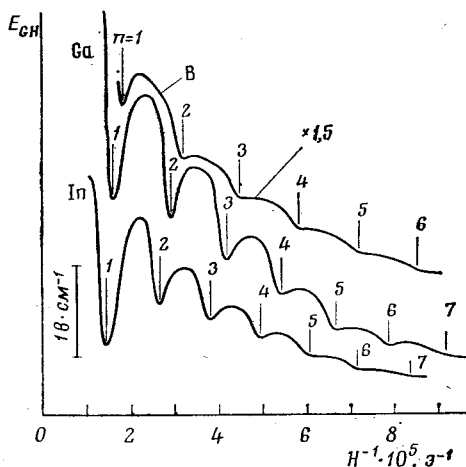
Из перечисленных данных с определенностью следует, что физический механизм явления должен включать дырочные переходы в акцепторах, сопровождаемые переходами электрона между различными магнитными подзонами Ландау (см. п. 1 предыдущего раздела). В связи с этим в [1] было указано на два возможных механизма.

А. Неупругое рассеяние горячих электронов на невозбужденных акцепторах с возбуждением акцепторов.

Б. Неупругое рассеяние термализованных электронов на акцепторах, находящихся в низшем возбужденном состоянии: центр девозбуждается, а энергия уносится электроном.

Экспериментальные факты исключают механизм А. Во-первых, невозможна понять выделение первого уровня возбуждения (п. 2). Во-вторых, поскольку носители термализованы, нельзя согласовать большую величину

Рис. 1. Осцилляции поля E_{CH} фотомагнитного эффекта на образцах германия с разной легирующей примесью. Интенсивность освещения $I = 5 \cdot 10^{16} \text{ см}^{-2} \cdot \text{сек}^{-1}$, $T = 1,65^\circ \text{ К}$, $H \parallel [100]$. Концентрации акцепторов In, Ga, B равны соответственно 1,4; 2 и 4 в единицах 10^{14} см^{-3}



эффекта с сильной температурной зависимостью (п. 2 и 3): небольшие группы электронов с энергией $\sim \mathcal{E} \gg T$ вносят незначительный вклад в фототок. Наконец, по крайней мере одно из двух расщепившихся значений \mathcal{E} должно расти с увеличением давления (в противоречии с п. 5), поскольку при деформационном расщеплении нижнего уровня акцептора его ниж-

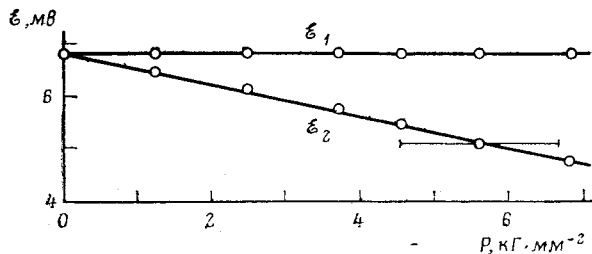


Рис. 2. Зависимость характерных энергий \mathcal{E}_1 и \mathcal{E}_2 от напряжения P на образце Ge, легированного Ga. Погрешность в определении напряжения, оцениваемая в 20%, показана для одной из экспериментальных точек

Приложение при корректуре. По оси ординат должно быть \mathcal{E} , мэв

ния компонента удаляется от возбужденного терма, а величина расщепления $\Delta E > T$.

Механизм Б в целом согласуется с большинством приведенных фактов (см. ниже). Однако процесс Б – не единственная возможная основа для их интерпретации. Если воспользоваться последними данными относительно энергии связи экситона в германии [3] $E_{\text{экс}} = 4,15 \text{ мэв}$ и экспериментальными значениями энергий ионизации акцепторов [4] (для галлия $E_{\text{Ga}} = -11,07 \text{ мэв}$), то величина $\Delta E = E_a - E_a^*$ для всех мелких акцепторов отли-

чается от $\Delta E = E_a - E_{\text{окс}}$ всего на 0,2 мэв. Различие это меньше, чем погрешность определения \mathcal{E} по периоду осцилляций (2), что позволяет предположить также следующий процесс.

В. Распад термализованного экзитона на заряженном акцепторе, сопровождающийся захватом дырки в основное состояние акцептора и эмиссией электрона в зону проводимости. Подчеркнем, однако, что хотя Ge — классический объект физики полупроводников, ряд параметров его спектра измерен недостаточно точно. В отличие от величины ΔE , измеряемой непосредственно, величина ΔE является разностью двух величин — измеряемых независимо и притом со значительной погрешностью. Значения $E_{\text{окс}}=3,8$ мэв [5] или $E_{\text{Ga}}=11,3$ мэв [6] при нашей точности измерений исключили бы возможность процесса В. Тем не менее мы обсуждали параллельно оба механизма Б и В.

Этому обсуждению необходимо предварить теоретические расчеты вероятностей безызлучательных переходов в акцепторах, позволяющие оценить степень реалистичности механизма Б: он эффективен, если лишь вероятность перехода из первого возбужденного состояния в основное с испусканием фонана не слишком превышает вероятность того же перехода при неупругом рассеянии электрона.

3. Темп электронных переходов в акцепторах

Времена безызлучательных переходов в примесных центрах сильно зависят от параметров; для получения относительно достоверных результатов необходимо использовать реалистическую модель.

Мы использовали сферическую модель акцепторов с гамильтонианом [7]:

$$H = \frac{\hbar^2}{2m} \left[\left(\gamma_1 + \frac{5}{2} \gamma \right) k^2 - 2\gamma(kJ)^2 \right] - \frac{e^2}{er}, \quad (3)$$

где γ , согласно [8], выбрано равным $\gamma = (3\gamma_3 + 2\gamma_2)/5$; $\gamma_1, \gamma_2, \gamma_3$ — параметры Латтинжера. Гамильтониан деформационного потенциала, описывающий взаимодействие дырки с акустическими фононами, также выбирался в сферическом приближении:

$$H_{el-ph} = (a + b') \varepsilon_{\alpha\alpha} - b' \varepsilon_{\alpha\beta} J_\alpha J_\beta, \quad (4)$$

где $b' = (2b + \sqrt{3}d)/5$, а a, b и d — деформационные потенциалы [7]. Если принять $a=2$ эв, $b=-2,2$ эв, $d=-4,5$ эв, то $b'=-2,45$ эв. Скорость звука (и продольного, и поперечного) также предполагается изотропной.

Волновые функции дырки (спин $1/2$) определяются формулой

$$\Psi_{nLFl}(\mathbf{r}, \sigma) = \sum_{l, m, s} \langle lm, {}^3/{}_2s | FM \rangle R_{nLFl}(r) Y_{lm}(\theta, \phi) \chi_s(\sigma), \quad (5)$$

где F — полный момент, орбитальное число $L=F-1/2$ либо $F-3/2$, а $l=L, L+2$; n — порядковый номер. Они представляют собой разложение по собственным функциям орбитального и спинового моментов, окончательные результаты выражаются в виде матричных элементов, содержащих радиальные функции R_{nLFl} .

Окончательное выражение для полной вероятности перехода с уровня $n_1 L_1 F_1 M_1$ в состояние, принадлежащие терму $n_2 L_2 F_2$, с испусканием одного фонана при $T=0$ имеет вид

$$P_{21} = \frac{(2F_1 + 1) q^4}{2\pi\rho \Delta E_{21} u(q)} M_{21}, \quad (6)$$

где q — волновой вектор фонона, определяемый из условия $\hbar\omega(q) = \Delta E_{21}$; ΔE_{21} — разность уровней; $u(q)$ — групповая скорость звука; ρ — плотность. Величина M_{21} билинейна как по деформационным потенциалам a и b' , так и по матричным элементам:

$$M_{l_1 l_2} = \int_0^{\infty} R_{n_1 L_1 F_1 l_1}(r) R_{n_2 L_2 F_2 l_2}(r) j_l(qr) r^2 dr \quad (7)$$

с l_1 , l_2 и l , определяемыми значениями L_1 и L_2 ; здесь j_l — сферические функции Бесселя. В формуле для M_{21} в качестве численных коэффициентов фигурируют $3jm$ -, $6j$ - и $9j$ -символы, зависящие от моментов L_1 , L_2 , F_1 и F_2 .

Вероятность P_{21} максимальна, когда безразмерный параметр $qa_h \approx 1$; a_h — боровский радиус, вычисленный по массе тяжелой дырки. При $qa_h \gg 1$ асимптотика M_{21} определяется поведением подынтегральных выражений в (7) вблизи особой точки $r = 0$; M_{21} убывает не медленнее, чем $(qa_h)^{-8}$. Для перехода с первого возбужденного уровня ($n_2=2$, $L_2=1$, $F_2=3/2$) на основной ($n_1=1$, $L_1=0$, $F_1=3/2$) параметр $qa_h \approx 10$. Используя разложение интегралов (7) при $qa_h \gg 1$ и значения деформационных потенциалов, получаем M_{21} для продольных и поперечных фононов

$$(M_{21})_{long} = 6,7 \cdot 10^2 \frac{A^2}{(q_{long} a_h)^{10}} \text{ эв}^2, \quad (M_{21})_{tr} = 0,9 \cdot 10^2 \frac{A^2}{(q_{tr} a_h)^{10}} \text{ эв}^2. \quad (8)$$

Здесь

$$A = \left[R_{10 \frac{3}{2} 0}(r) \frac{d}{dr} R_{21 \frac{1}{2} 1}(r) \right]_{r=0} \quad (9)$$

(r в единицах a_h), т. е. вероятность определяется поведением радиальных функций R из правой части (5) при $r \rightarrow 0$. Сильная зависимость вероятности от импульса $P_{21} \propto q^{-6}$ приводит к большим временам жизни возбужденных состояний по отношению к переходу в основное. По этой же причине вследствие $q_{tr}/q_{long} \approx 2$ доминирует взаимодействие с продольным звуком. Используя радиальные функции из [9] и данные по $\omega(q)$ [10], получаем

$$\tau_{ph}^{-1} = (P_{21})_{long} \approx 1,5 \cdot 10^7 \text{ сек}^{-1}. \quad (10)$$

Функции R представлены в [9] в виде графиков. Поэтому точность последнего результата невелика, однако он хорошо согласуется с недавно измеренным [11] $\tau_{ph}^{-1} \approx 0,5 \cdot 10^7 \text{ сек}^{-1}$.

Релаксация между возбужденными состояниями происходит за счет переходов с $qa_h \approx 1$. Их вероятность значительно превышает P_{21} , и при $T \rightarrow 0$ дырки задерживаются лишь на первом возбужденном уровне.

Обсудим вероятность перехода акцептора в основное состояние при неупругом рассеянии электрона τ_e^{-1} . Вычисление τ_e крайне сложно, так как связано с решением трехчастичной задачи, в которой пока неизвестен даже энергетический спектр; например, по-видимому, неизвестно, существуют ли в Ge связанные состояния электрона с нейтральным акцептором. Мы оценили τ_e в низшем порядке по взаимодействию электрона с акцептором, использовав волновые функции акцептора из [9]. Для $H \parallel [100]$

$$\tau_e^{-1} \approx 10^2 \frac{e^4 a_h^2 N_e}{\hbar^2 \epsilon^2} \sqrt{\frac{m_\perp}{\Delta E}}. \quad (11)$$

Вблизи n -го резонанса в (11) надо включить дополнительный фактор $0,2 \sqrt{m_\parallel/m_\perp n \beta}$, где $\beta = \{H_1/H\}$ — дробная часть H_1/H ; H_1 — поле, отвечающее

первому резонансу. Здесь N_e — концентрация электронов, m_{\parallel} , m_{\perp} — компоненты тензора их эффективной массы, ϵ — диэлектрическая постоянная. Дополнительный фактор связан с сингулярностью в электронном спектре вблизи дна магнитных подзон.

Применительно к параметрам Ge времена τ_e и τ_{ph} вне резонансов сравниваются при $N_e \approx 10^{11} \text{ см}^{-3}$. Хотя прямые измерения N_e не производились, оценки показывают [1], что это значение близко к экспериментальному. Поэтому в условиях наших экспериментов времена τ_{ph} и τ_e были, по-видимому, одного порядка.

4. Обсуждение

Сопоставим механизмы Б и В с экспериментальными фактами.

1. Попытку различить модели Б и В можно сделать на основе анализа величины γ в (1). Если принять согласно [12], что расщепление основного состояния акцептора в магнитном поле мало, то наблюдавшееся в [13] расщепление линии G обусловлено расщеплением возбужденного состояния. В модели Б зависимость $\Delta E(H)$ обусловлена накоплением дырок на нижнем подуровне расщепившегося возбужденного терма, соответствующем низкочастотной компоненте группы линий [13]. Анализ [1] показал, что этот сдвиг удовлетворительно объясняет наблюдаемую величину γ . В модели В в зависимости $\Delta E(H)$ входят помимо сдвига дна зоны проводимости $1/2\hbar\Omega_e$ абсолютные значения смещений основных состояний акцептора и экситона. Если сдвиг уровня экситона известен [14], то абсолютный сдвиг основного состояния акцептора δE_a практически неизвестен, поскольку одна из определяющих его констант (q_1) не измерена [12].

2. Наличие лишь одного периода осцилляций объясняется в обеих моделях. Что касается амплитуды осцилляций, то следует учесть, что в рассматриваемой многокомпонентной системе сдвиг равновесия может различными путями отражаться на проводимости. Например, изменение количества ионизованных акцепторов может оказаться и на подвижности и — через сдвиг процессов рекомбинации — на концентрации носителей. Можно указать лишь необходимое условие большой амплитуды осцилляций: осцилляции вероятности элементарного процесса должны заметно сдвигать равновесие в какой-то части системы. В модели Б это возможно благодаря тому, что времена τ_{ph} и τ_e одного порядка. В модели В даже при $N_a^-/N_a^0 \sim 1\%$ и $\sigma \sim 10^{-12} \text{ см}^2$ время распада экситона на заряженном акцепторе $\sim 10^{-6}$ сек, т. е. сравнивается с временем жизни экситона; поэтому процессы В могут заметно сдвинуть равновесие между экситонами и электронами.

3. Из сказанного выше ясно, что температурные зависимости вряд ли могут служить надежным критерием для различия моделей Б и В, так как в обоих случаях осцилляции вероятности элементарного процесса могут оказаться либо на концентрации, либо на подвижности холодных электронов, т. е. той группы носителей, которая чувствительна к температуре ванны.

4. В модели Б, ответственной за наличие критической концентрации N_a^{kp} могла бы быть перколация в системе возбужденных акцепторов. Миграция возбуждений должна приводить к уменьшению их времени жизни за счет наличия центров их рекомбинации («концентрационное гашение»). Поскольку экситон имеет примерно такие же размеры, что и возбужденный акцептор, то при $N_a \geq N_a^{kp}$ его волновая функция должна сильно возмущаться нейтральными акцепторами, что существенно меняет условия для процесса В.

5. Зависимость значений \mathcal{E} от деформации, приведенная на рис. 2, в принципе должна позволить различать механизмы Б и В. Однако сейчас нет экспериментальных данных о деформационном расщеплении возбужденного уровня акцептора и основного уровня экситона в исследованной нами области деформаций.

Заключение

Таким образом, из наших расчетов и из экспериментов [11] следуют большие времена релаксации акцепторов через фононы. В результате электронный механизм девозбуждения акцепторов конкурирует с фононным механизмом уже при сравнительно низких концентрациях фотоэлектронов. Это показывает реальность модели Б. Реальность же модели В базируется на величинах E_a и $E_{\text{экс}}$, известных недостаточно точно. Это заставляет отдать пока предпочтение модели Б. Дополнительные данные об энергетическом спектре акцепторов и экситонов должны позволить сделать окончательный выбор между этими двумя моделями.

Мы благодарны Е. М. Гершензону и М. Л. Кагане за дискуссию.

Институт физики твердого тела

Академии наук СССР

Институт теоретической физики им. Л. Д. Ландау

Академии наук СССР

Литература

- Гантмахер В. Ф., Зверев В. Н., Ж. эксперим. и теор. физ., 69, 695 (1975); 70, 1891 (1976).
- Зверев В. Н., Физ. твердого тела, 19, 2015 (1977).
- Altarelli M., Lipari N. O., Phys. Rev. Letts., 36, 619 (1976).
- Haller E. E., Hansen W. L., Solid State Communs., 15, 687 (1974).
- Гершензон Е. М., Гольцман Г. Н., Птицина Н. Г., Письма в ЖЭТФ, 18, 160 (1973).
- Baldereschi A., Lipari N. O., Proc. XIII Internat. Conf. Phys. Semicond., Roma, 1976, p. 595.
- Бир Г. Л., Пикус Г. Е., Симметрия и деформационные эффекты в полупроводниках, «Наука», М., 1972.
- Baldereschi A., Lipari N. O., Phys. Rev., B8, 2697 (1973).
- Mendelson K. S., James H. M., J. Phys. Chem. Solids, 25, 729 (1964).
- Nillson G., Nelin G., Phys. Rev., B3, 364 (1971); B5, 3151 (1972).
- Гершензон Е. М., Гольцман Г. Н., Орлов Л. А., Птицина Н. Г., см. настоящий номер журнала, стр. 1154.
- Tokumoto H., Ischiguro T., Phys. Rev., B15, 2099 (1977).
- Soepangkat H. P., Fisher P., Phys. Rev., B8, 870 (1973).
- Martin R. W., Siörmer H. L., Rähle W., Bimberg D., J. Luminescence, 12/13, 645 (1976).